

圖 4.1 程式計算流程圖

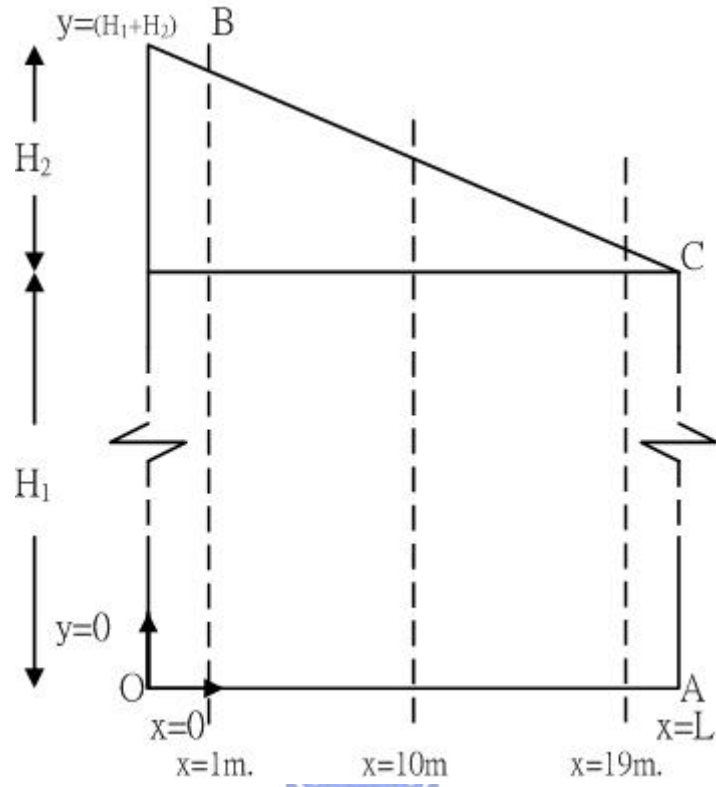


圖 4.2 土體靜力平衡計算驗證案例示意圖

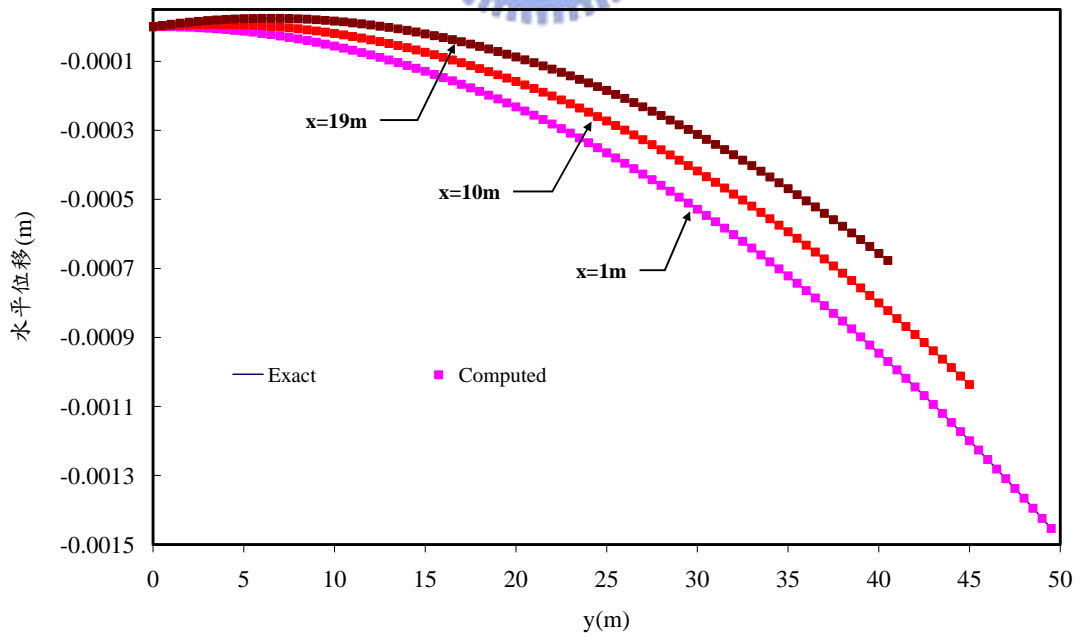


圖 4.3(a) 土體靜力方程式梯形模擬區域驗證結果(水平位移(u_x))

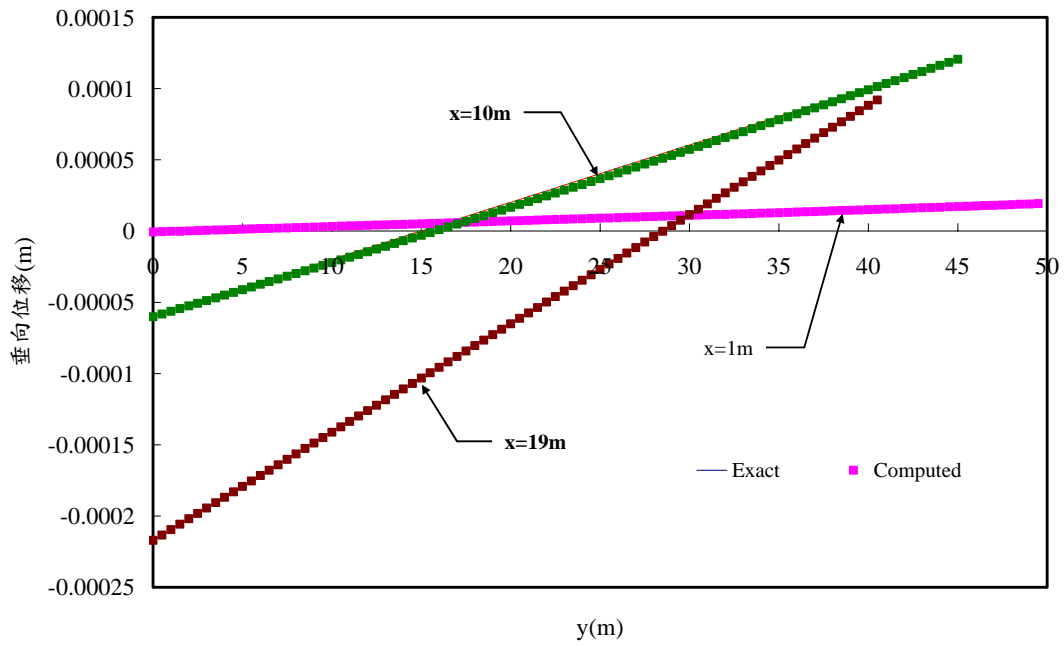


圖 4.3(b) 土體靜力方程式梯形模擬區域驗證結果(垂向位移(u_y))

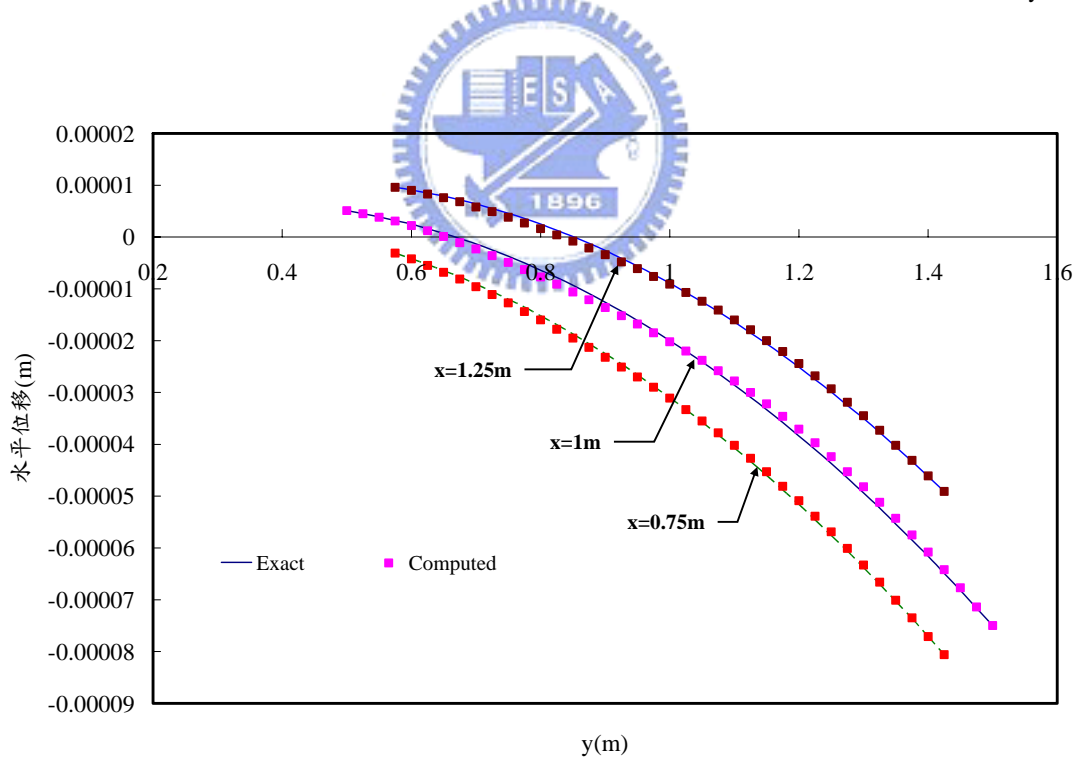


圖 4.4(a) 土體靜力方程式圓形模擬區域驗證結果(水平位移(u_x))

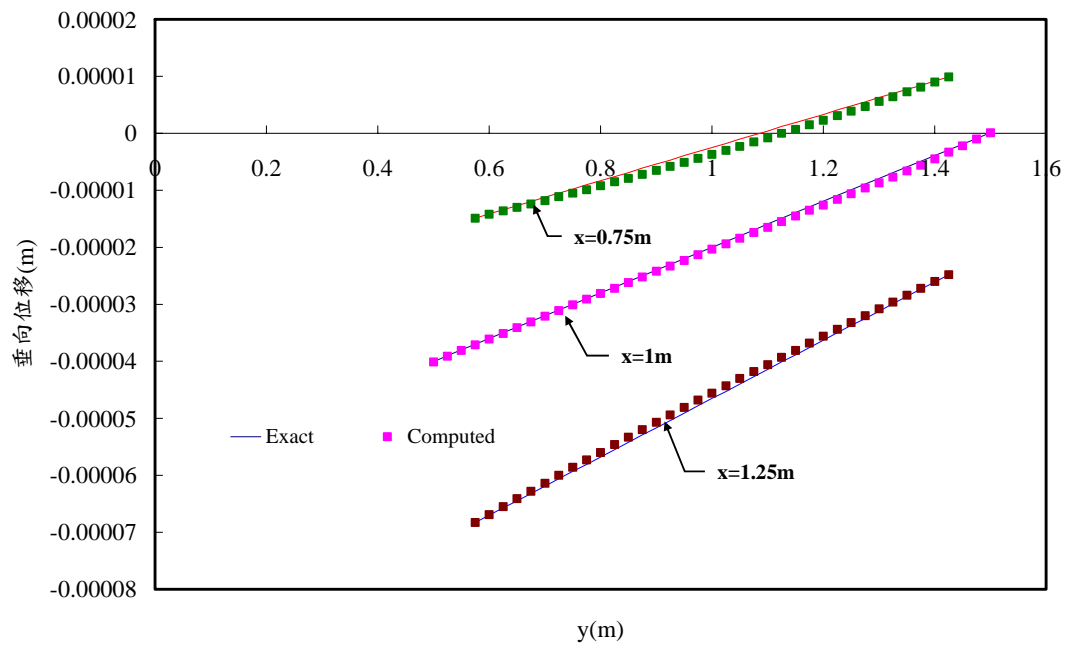


圖 4.4(b) 土體靜力方程式梯形模擬區域驗證結果(垂向位移(u_y))



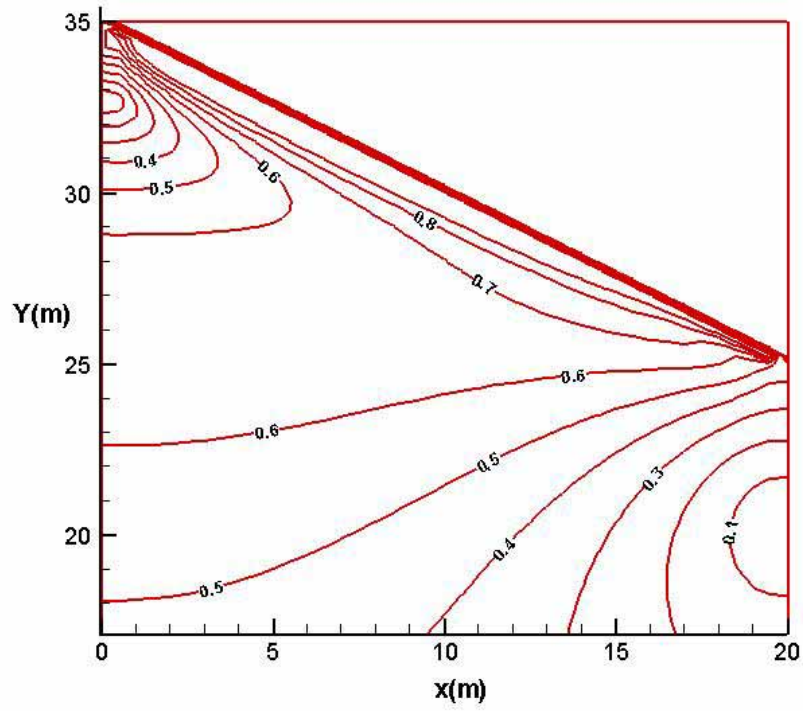


圖 4.5 飽和土壤破壞潛能驗證案例示意圖

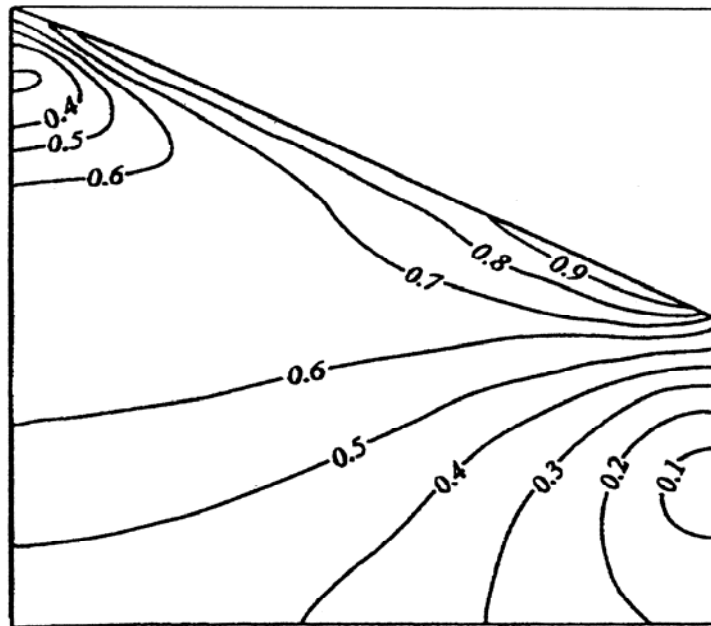


圖 4.6 飽和土壤破壞潛能驗證案例示意圖

(Iverson and Reid(1992))

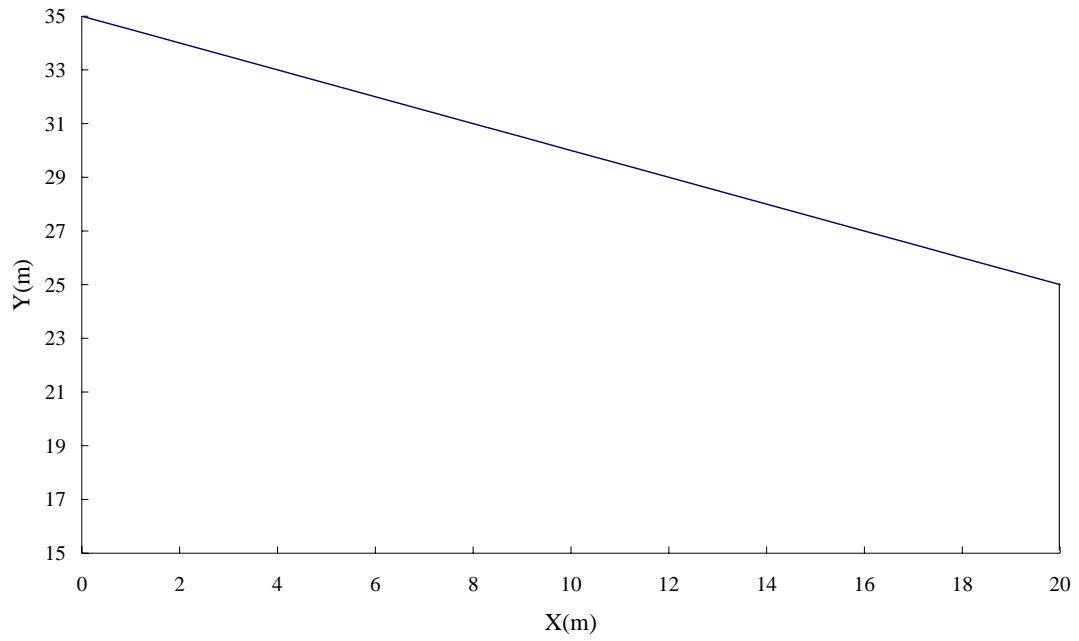


圖 4.7(a) 直線坡面計算案例示意圖

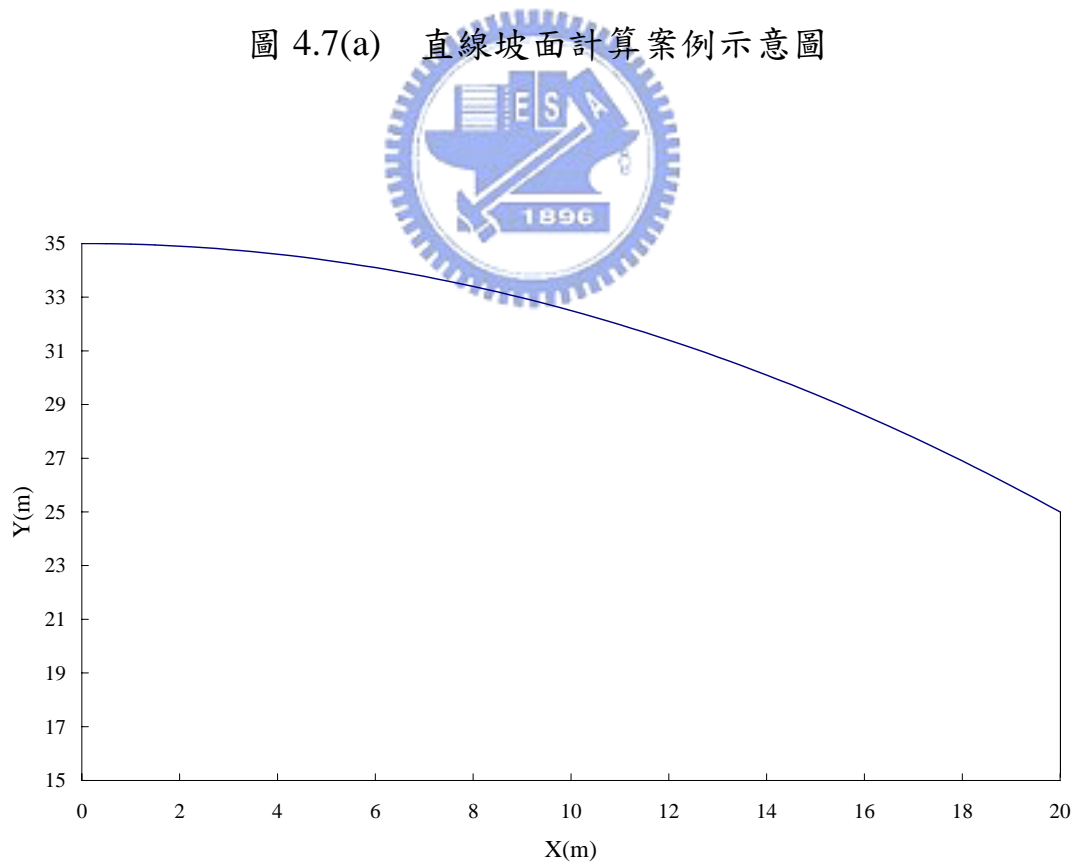


圖 4.7(b) 凸坡面計算案例示意圖

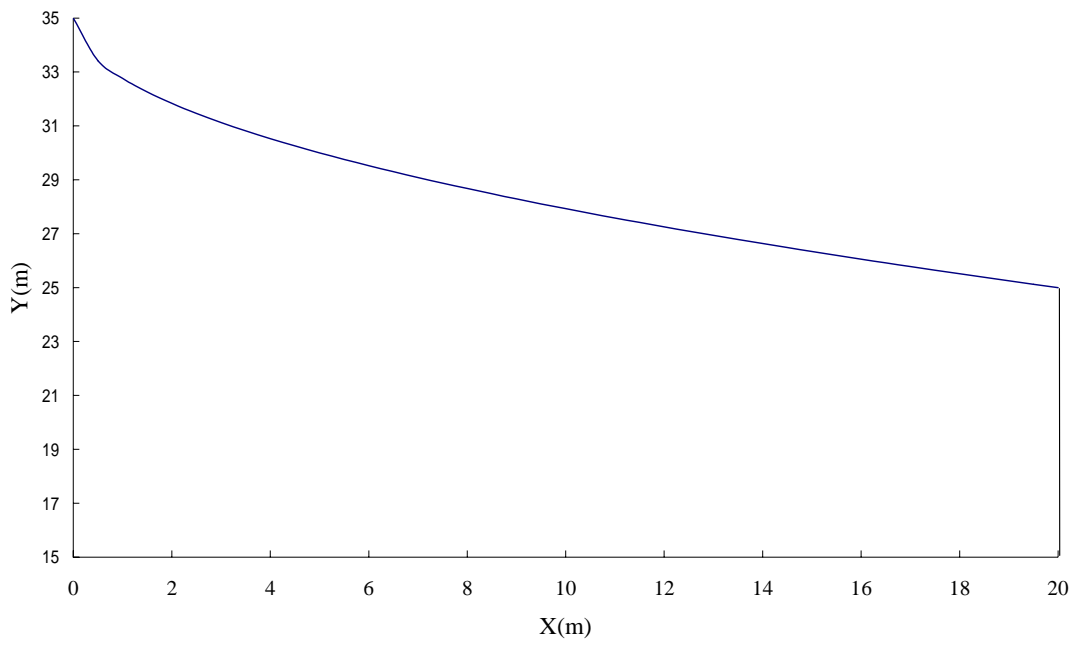


圖 4.7(c) 凹坡面計算案例示意圖

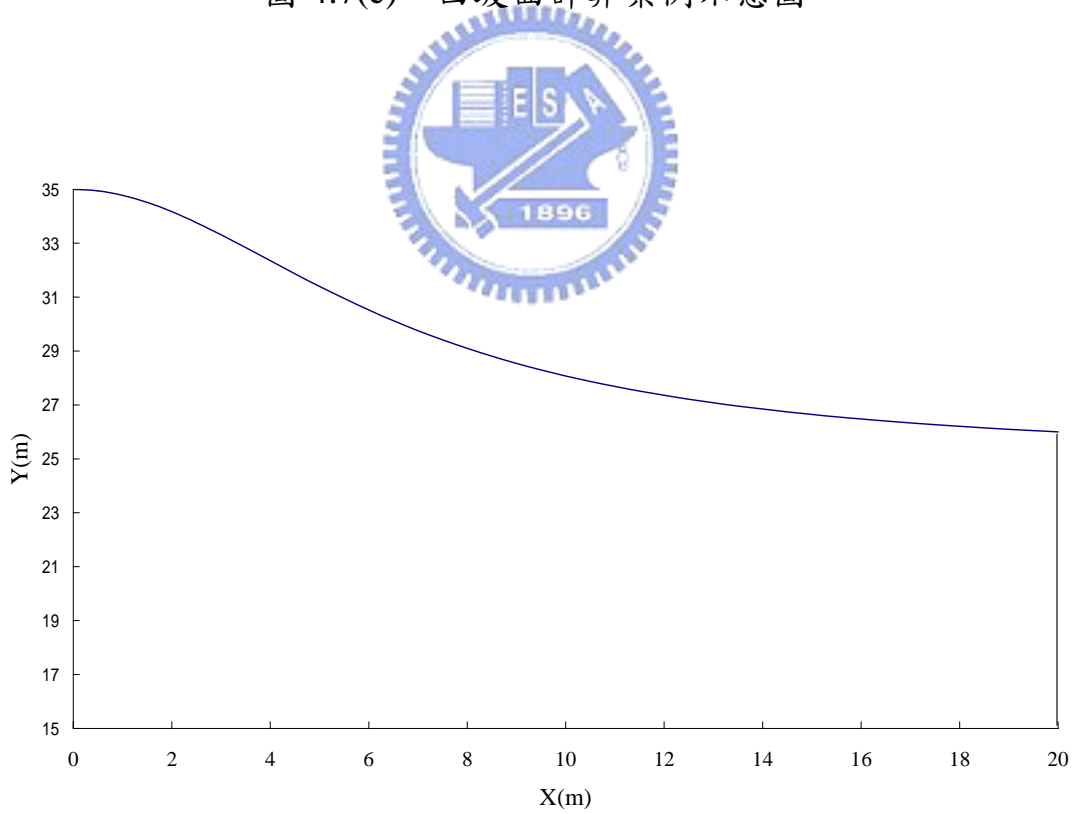
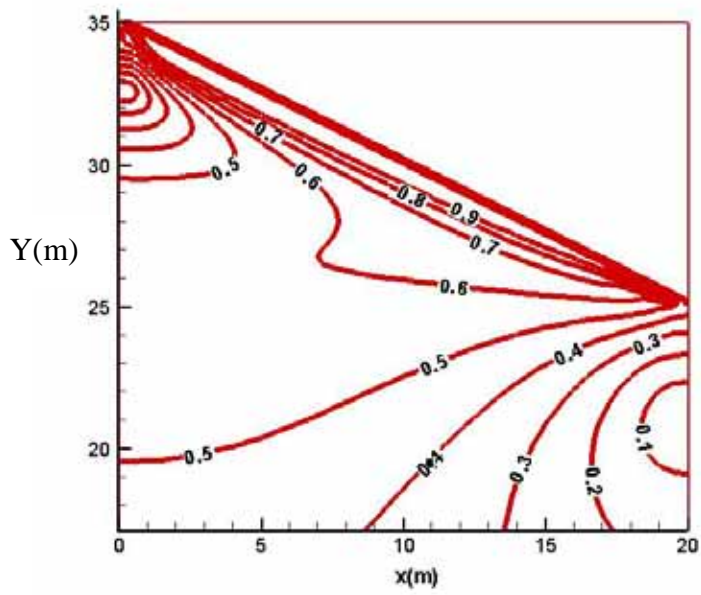
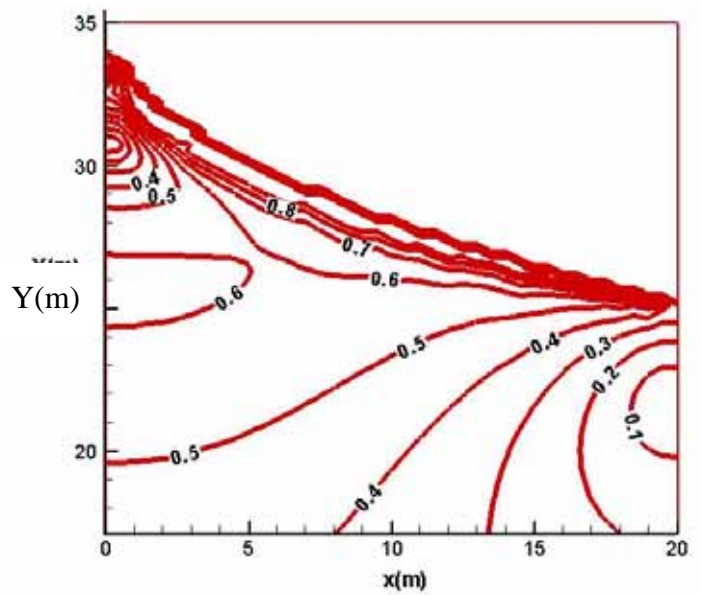


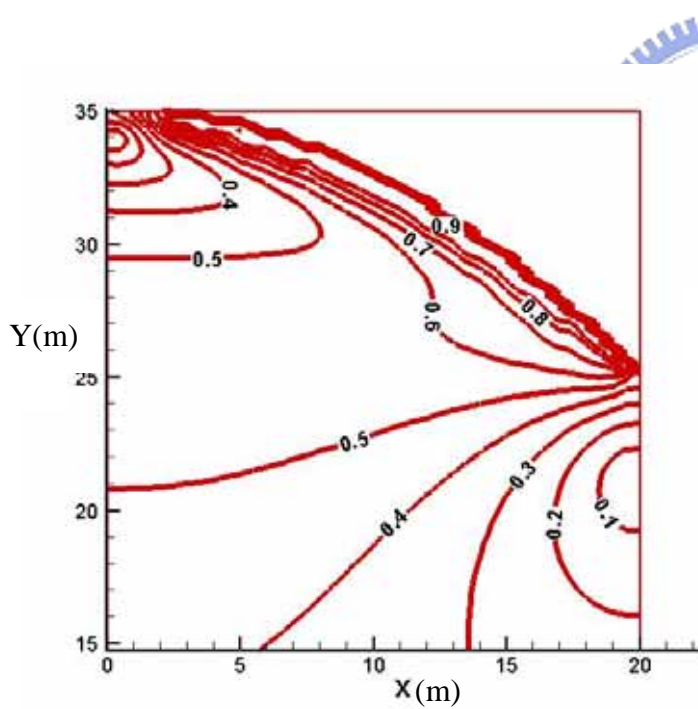
圖 4.7(d) 凸凹坡面計算案例示意圖



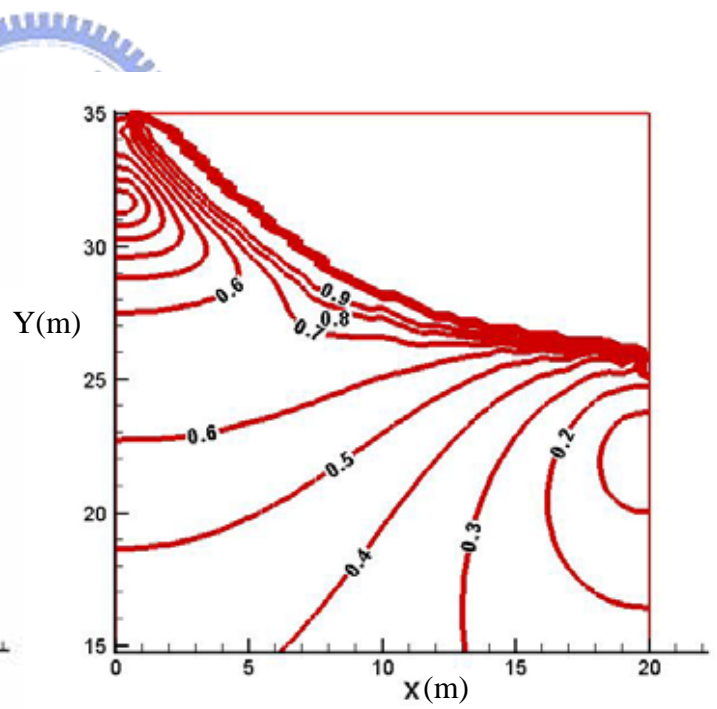
(a) 直線坡面



(b) 凹坡面



(c) 凸坡面



(d) 凸、凹坡面

圖 4.8 不同坡面形狀對破壞潛之影響

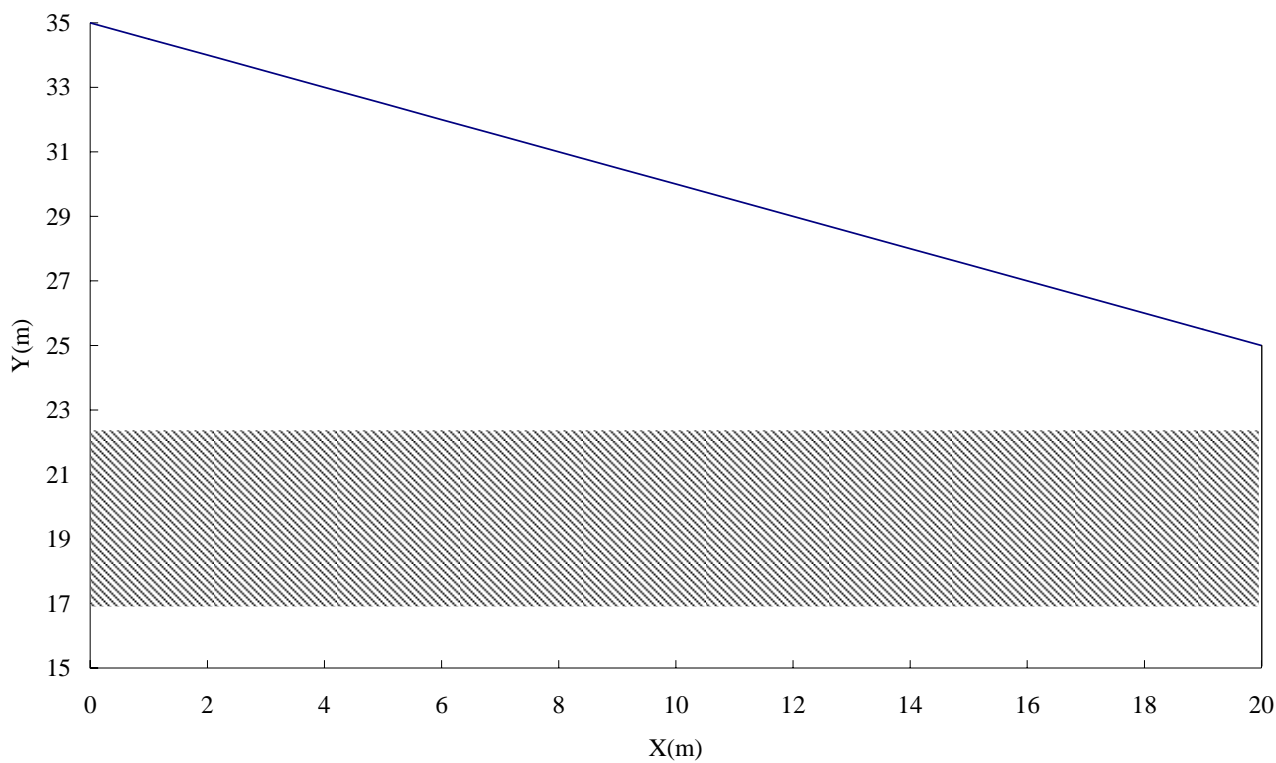


圖 4.9(a) 水平土壤分層示意圖

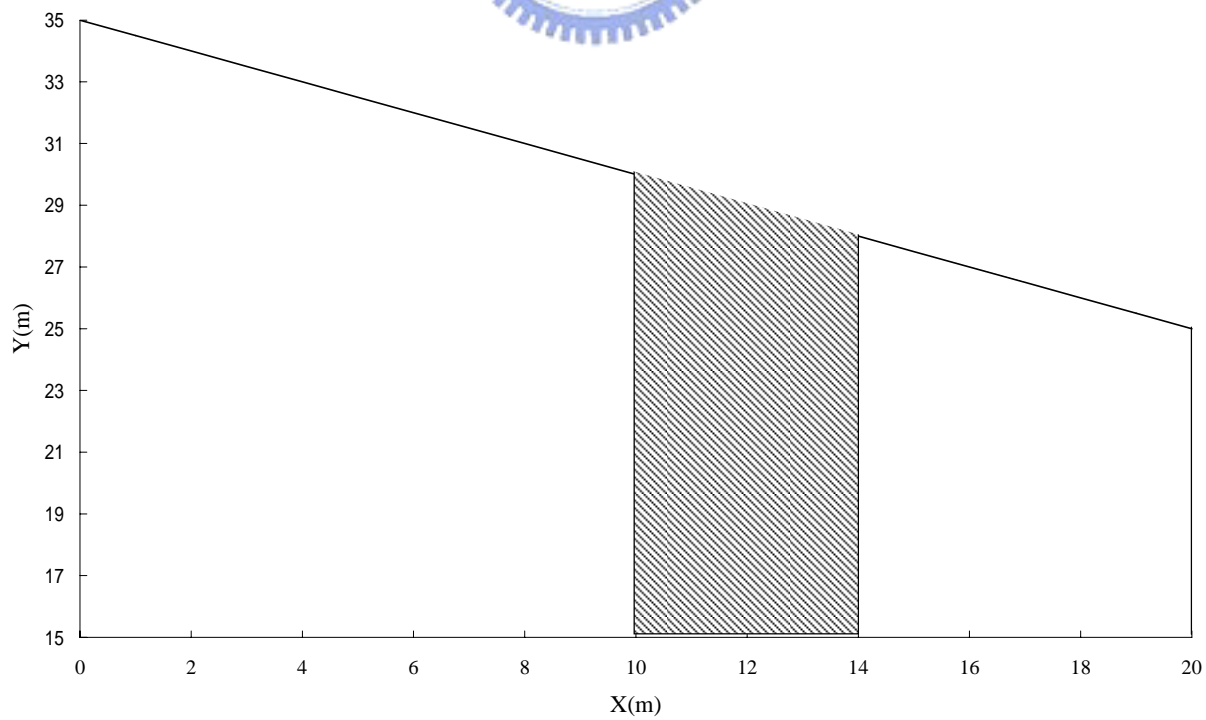
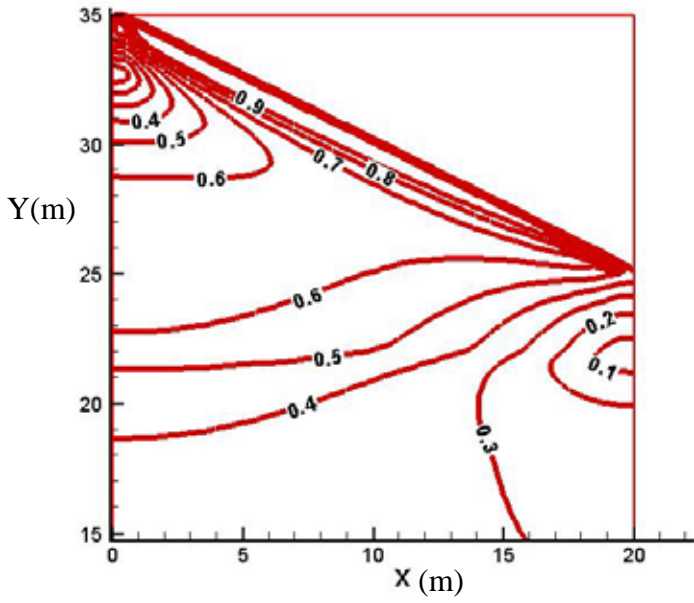
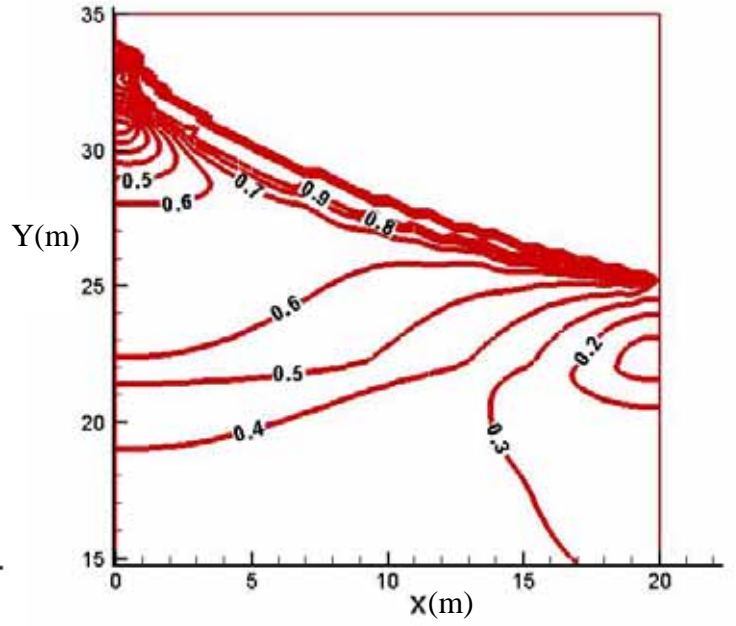


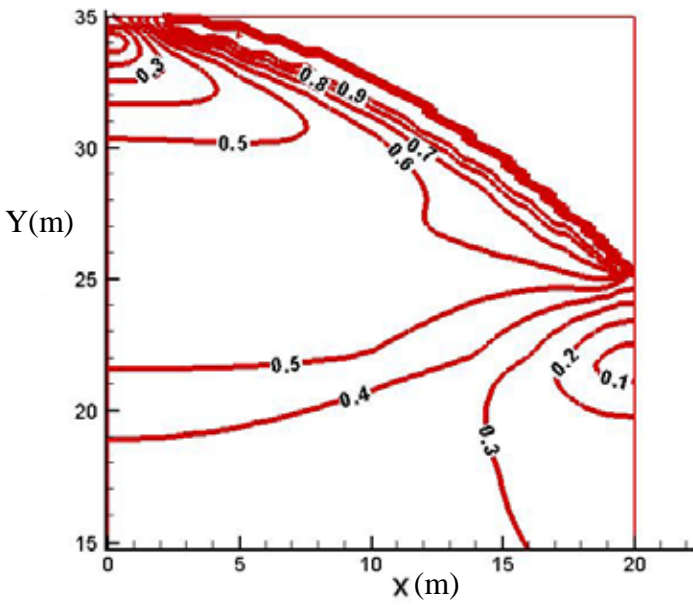
圖 4.9(b) 垂直土壤分層示意圖



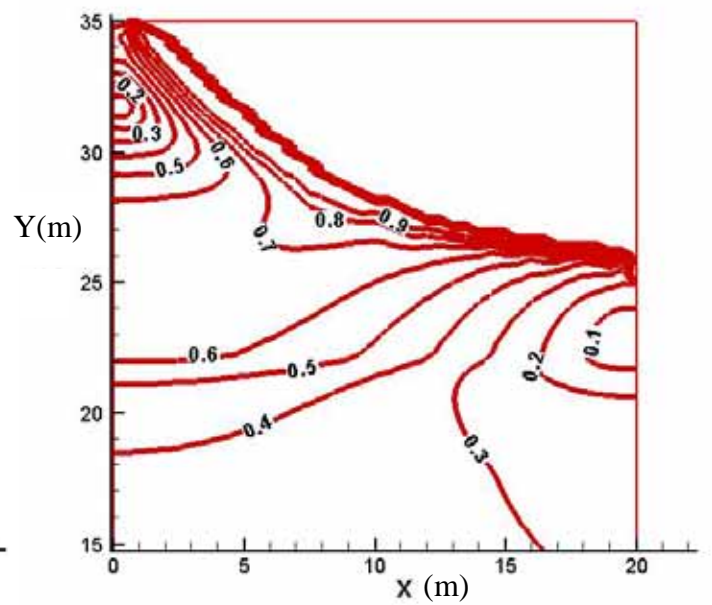
(a) 直線坡面



(b) 凹坡面

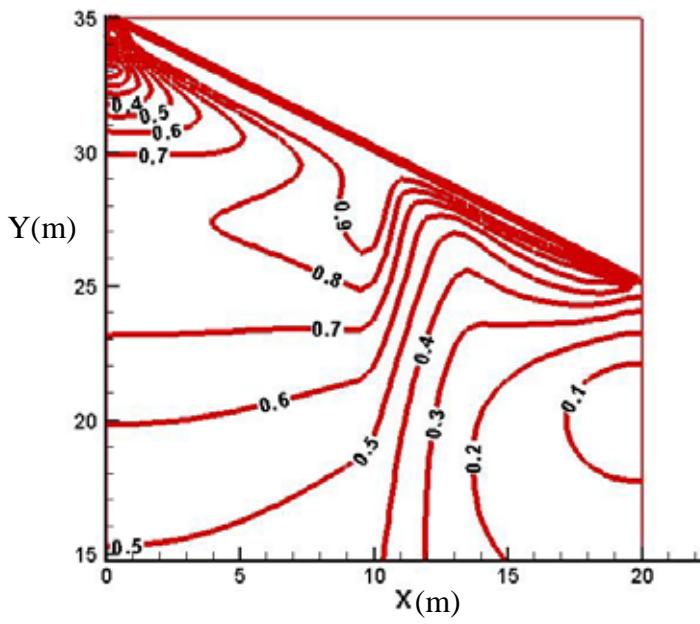


(c) 凸坡面

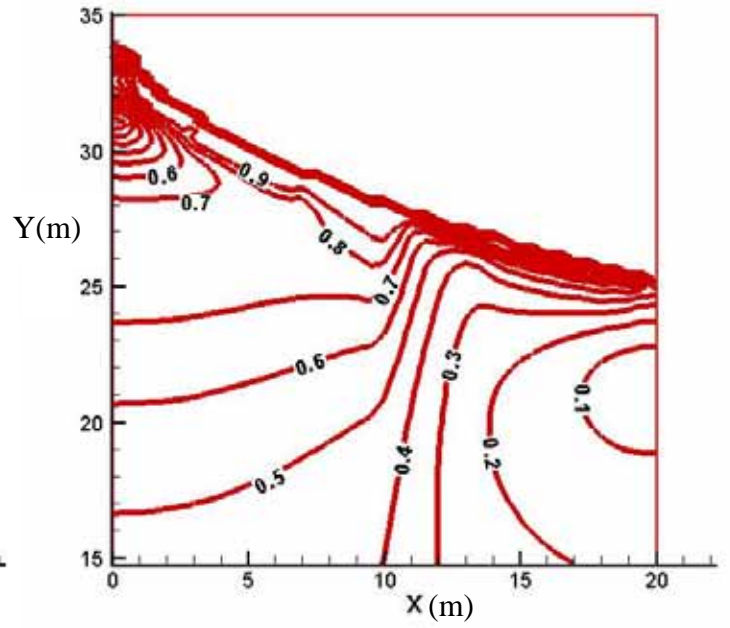


(d) 凸、凹坡面

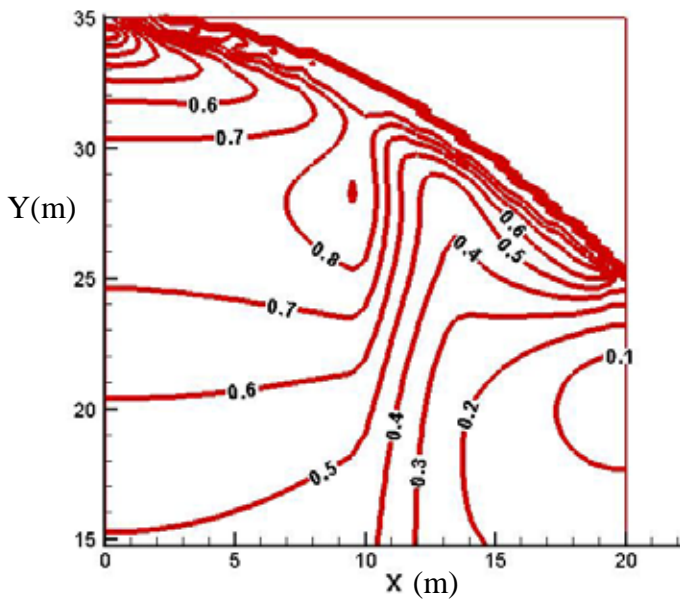
圖 4.10 水平土壤分層對不同坡面形狀破壞潛能之影響



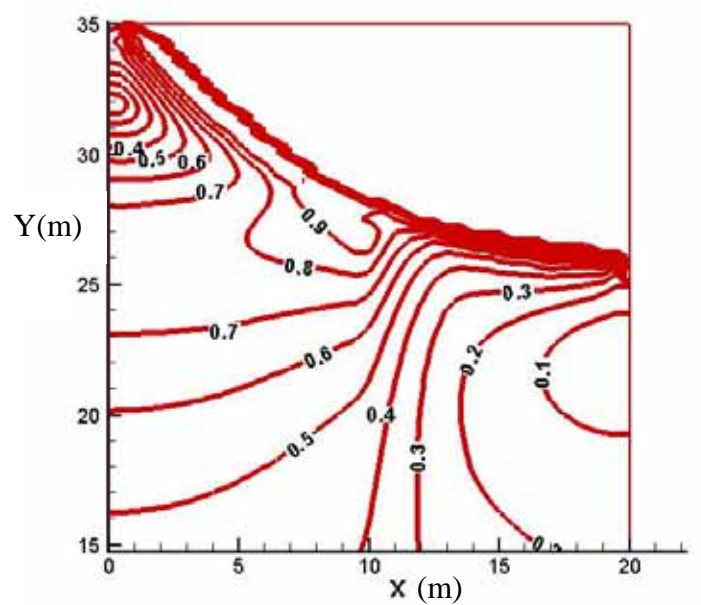
(a) 直線坡面



(b) 凹坡面

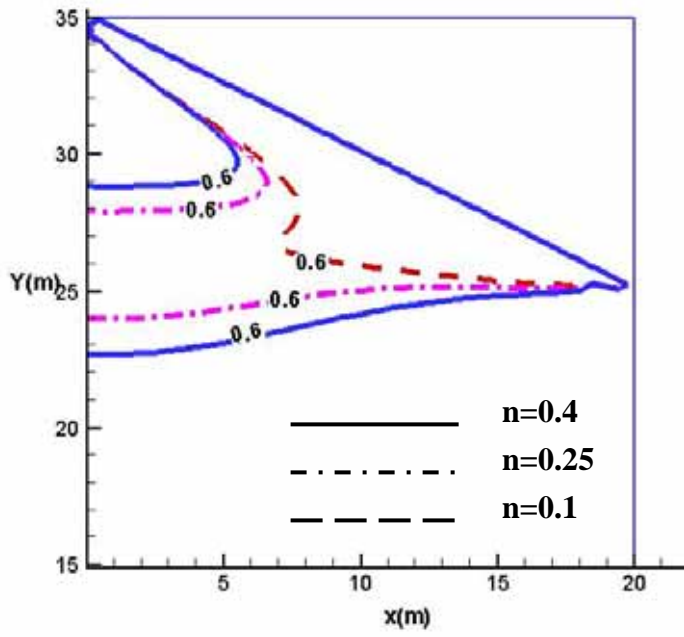


(c) 凸坡面

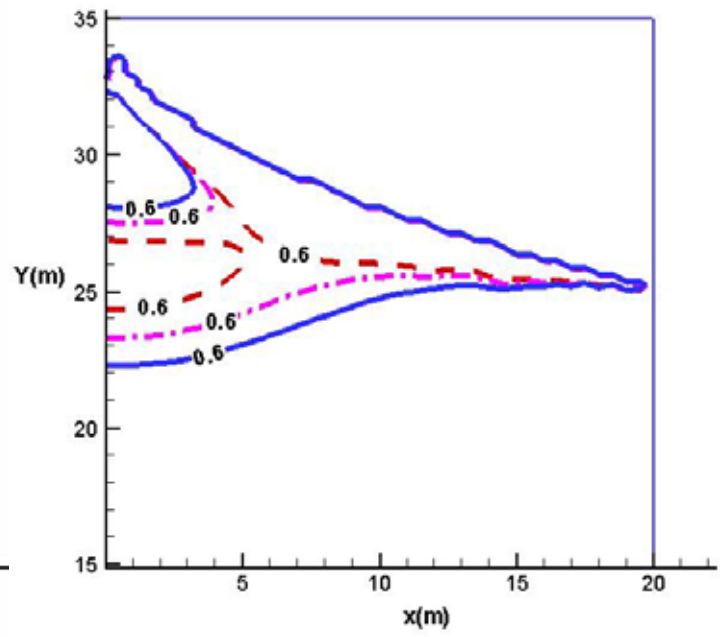


(d) 凸、凹坡面

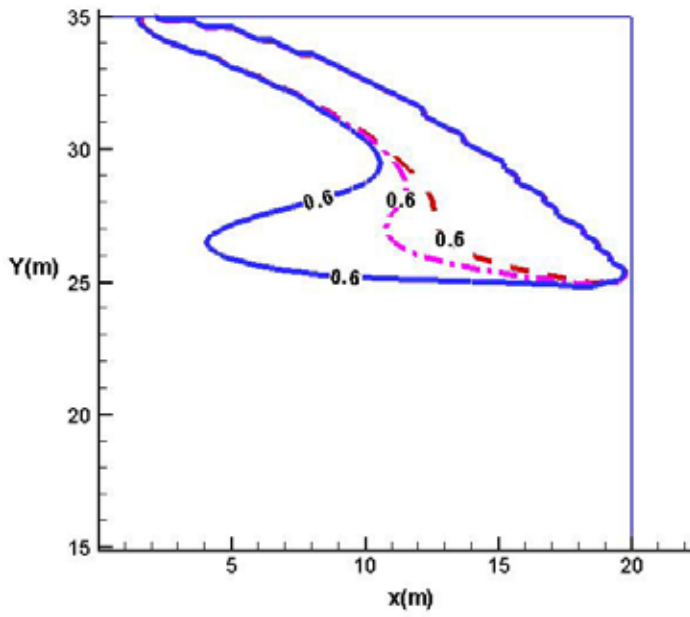
圖 4.11 垂向土壤分層對不同坡面形狀破壞潛能之影響



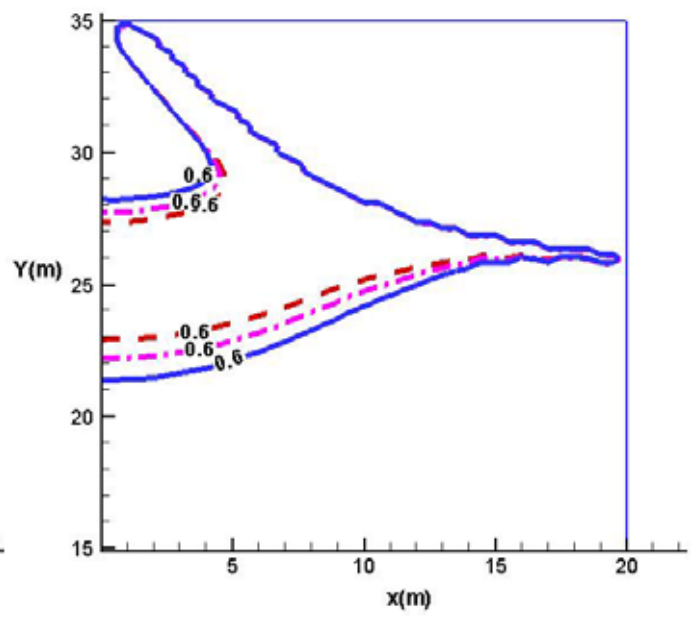
(a) 直線坡面



(b) 凹坡面

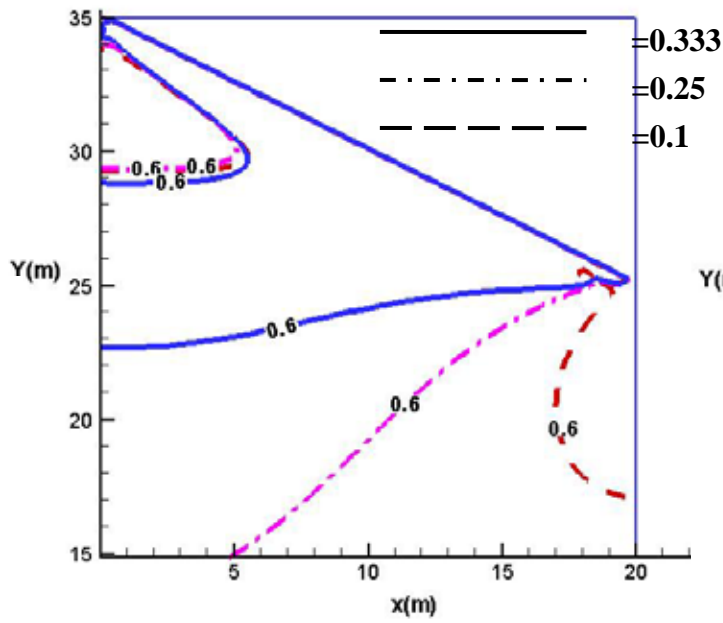


(c) 凸坡面

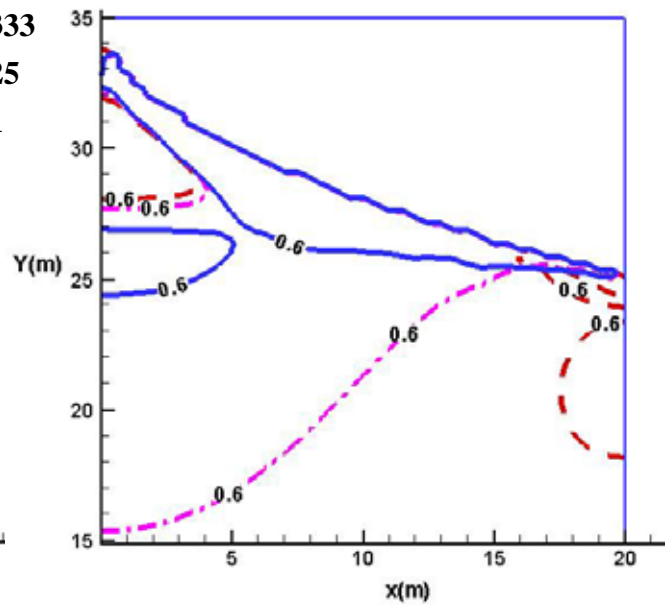


(d) 凸、凹坡面

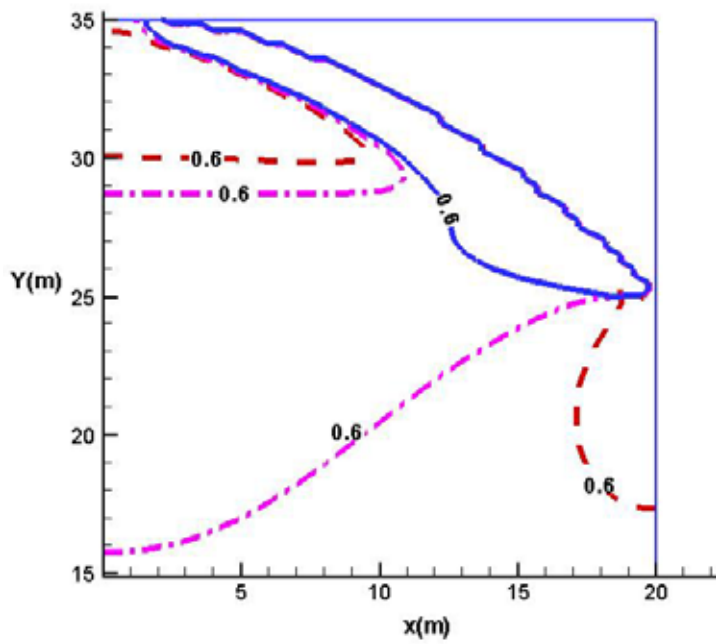
圖 4.12 孔隙率對不同坡面形狀破壞潛能之影響



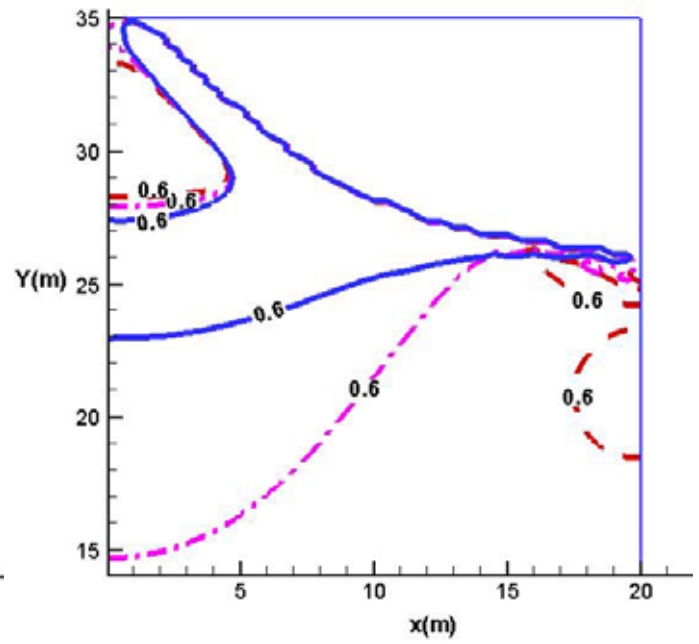
(a) 直線坡面



(b) 凹坡面



(c) 凸坡面



(d) 凸、凹坡面

圖 4.13 波松比對不同坡面形狀破壞潛能之影響